



Norges teknisk-naturvitenskapelige universitet
Institutt for teknisk kybernetikk

Faglig kontakt under eksamen

Navn:

Erlend Kristiansen

Telefon: 99501741

LØSNINGSFORSLAG
EKSAMEN I TTK4130
MODELLERING OG SIMULERING
26. mai 2006
Tid: 09:00-13:00

Hjelpemidler:

C: Spesifiserte trykte og håndskrevne hjelpemidler tillatt. Bestemt, enkel kalkulator tillatt.

Sensur:

Sensuren vil bli avsluttet i henhold til gjeldende regelverk.

Oppgave 1) (xx %)**a)**

$$\begin{aligned}
H_a(j\omega) &= K \frac{j\omega + a}{(j\omega + 1)^2} \\
&= K \frac{(j\omega + a)(-j\omega + 1)^2}{(-j\omega + 1)^2(j\omega + 1)^2} \\
&= K \frac{a + (2 - a)\omega^2}{(1 + \omega^2)^2} + jK \frac{\omega(1 - 2a - \omega^2)}{(1 + \omega^2)^2} \quad (1)
\end{aligned}$$

Siden $H_a(s)$ har alle poler i venstre halvplan er $H_a(s)$ positiv reell hvis og bare hvis $\operatorname{Re}(H_a(j\omega)) \geq 0$ for alle ω . Dette betyr at $H_a(s)$ er positiv reell hvis og bare hvis

$$0 \leq a \leq 2 \quad (2)$$

b) $H_b(s)$ er irrasjonal og kan uttrykkes

$$\frac{1}{\tanh s} = \frac{\cosh s}{\sinh s} \quad (3)$$

som har singulariteter for

$$\begin{aligned}
0 &= \sinh s = \frac{e^s - e^{-s}}{2} \\
&\iff e^{2s} = 1 \\
&\iff s = jk\pi, \quad k = 0, \pm 1, \pm 2, \dots
\end{aligned}$$

Dette betyr at alle singularitetene ligger på imaginæraksen. Transferfunksjonen er derfor positiv reell hvis og bare hvis $H_b(s)$ er reell for reelle s i $\operatorname{Re}(s) > 0$, og i tillegg $\operatorname{Re}(H_b(s)) \geq 0$ for alle $\operatorname{Re}(s) > 0$. La $s = \sigma + j\omega$. Da er

$$\sinh s = \sinh \sigma \cosh \omega + j \cosh \sigma \sinh \omega \quad (4)$$

$$\cosh s = \cosh \sigma \cosh \omega + j \sinh \sigma \sinh \omega \quad (5)$$

som gir

$$\begin{aligned}
\operatorname{Re} \left(\frac{1}{\tanh s} \right) &= \operatorname{Re} \left(\frac{\cosh (\sigma + j\omega)}{\sinh (\sigma + j\omega)} \right) \\
&= \operatorname{Re} \left(\frac{\cosh \sigma \cos \omega + j \sinh \sigma \sin \omega}{\sinh \sigma \cos \omega + j \cosh \sigma \sin \omega} \right) \\
&= \operatorname{Re} \left(\frac{(\cosh \sigma \cos \omega + j \sinh \sigma \sin \omega) (\sinh \sigma \cos \omega - j \cosh \sigma \sin \omega)}{(\sinh \sigma \cos \omega)^2 + (\cosh \sigma \sin \omega)^2} \right) \\
&= \operatorname{Re} \left(\frac{\cosh \sigma \sinh \sigma \cos^2 \omega + \sinh \sigma \cosh \sigma \sin^2 \omega + j (\sinh^2 \sigma \sin \omega \cos \omega - \cosh^2 \sigma \cos \omega \sin \omega)}{(\sinh \sigma \cos \omega)^2 + (\cosh \sigma \sin \omega)^2} \right) \\
&= \operatorname{Re} \left(\frac{\cosh \sigma \sinh \sigma - j \sin \omega \cos \omega}{(\sinh \sigma \cos \omega)^2 + (\cosh \sigma \sin \omega)^2} \right) \\
&= \frac{\cosh \sigma \sinh \sigma}{(\sinh \sigma \cos \omega)^2 + (\cosh \sigma \sin \omega)^2} > 0 \quad \text{når } \sigma > 0
\end{aligned}$$

Dette gir at $H_b(s)$ er positiv reell.

c) Setter opp modellen elementvis og bruker Newton. Kaller motorvinkelen for θ_0 , vinkelen for last 1 er θ_1 og vinkelen for last 2 er θ_2 . Vinkelhastighetene og akselerasjonene for henholdsvis motoren og de to lastene er dermed $\dot{\theta}_0, \dot{\theta}_1, \dot{\theta}_2$ og $\ddot{\theta}_0, \ddot{\theta}_1, \ddot{\theta}_2$, evt. $\omega_0, \omega_1, \omega_2$ og $\dot{\omega}_0, \dot{\omega}_1, \dot{\omega}_2$. Modellen er dermed

$$J_0 \ddot{\theta}_0 = T_0 - T_1 \quad (6)$$

$$J_1 \ddot{\theta}_1 = T_1 - T_2 \quad (7)$$

$$J_2 \ddot{\theta}_2 = T_2 \quad (8)$$

hvor T_0 er motormomentet og lastmomentene er gitt av

$$T_1 = D_1 (\dot{\theta}_0 - \dot{\theta}_1) + K_1 (\theta_0 - \theta_1) \quad (9)$$

$$T_2 = D_2 (\dot{\theta}_1 - \dot{\theta}_2) + K_2 (\theta_1 - \theta_2) \quad (10)$$

hvor D_1, D_2 er dempekonstantene og K_1, K_2 er fjærkonstantene.

d) Energien til systemet er gitt av den kinetiske energien i motoren og i de to lastene, samt den potensielle energien i "fjærene" for de to elastiske lastene. Vi velger dermed å betrakte energifunksjonen for systemet, som er

$$V = \frac{1}{2} J_0 \dot{\theta}_0^2 + \frac{1}{2} J_1 \dot{\theta}_1^2 + \frac{1}{2} J_2 \dot{\theta}_2^2 + \frac{1}{2} K_1 \theta_{1e}^2 + \frac{1}{2} K_2 \theta_{2e}^2 \quad (11)$$

hvor

$$\theta_{1e} = \theta_0 - \theta_1 \quad (12)$$

$$\theta_{2e} = \theta_2 - \theta_1 \quad (13)$$

Får da

$$\begin{aligned}
\dot{V} &= J_0 \dot{\theta}_0 \ddot{\theta}_0 + J_1 \dot{\theta}_1 \ddot{\theta}_1 + J_2 \dot{\theta}_2 \ddot{\theta}_2 + K_1 \theta_{1e} \dot{\theta}_{1e} + K_2 \theta_{2e} \dot{\theta}_{2e} \\
&= \dot{\theta}_0 (T_0 - T_1) + \dot{\theta}_1 (T_1 - T_2) + \dot{\theta}_2 T_2 + K_1 \theta_{1e} \dot{\theta}_{1e} + K_2 \theta_{2e} \dot{\theta}_{2e} \\
&= \dot{\theta}_0 \left(T_0 - (D_1 \dot{\theta}_{1e} + K_1 \theta_{1e}) \right) + \dot{\theta}_1 \left(D_1 \dot{\theta}_{1e} + K_1 \theta_{1e} - (D_2 \dot{\theta}_{2e} + K_2 \theta_{2e}) \right) + \dot{\theta}_2 (D_2 \dot{\theta}_{2e} + K_2 \theta_{2e}) + K_1 \theta_{1e} \dot{\theta}_{1e} \\
&= \dot{\theta}_0 T_0 - D_1 \dot{\theta}_{1e}^2 - K_1 \dot{\theta}_{1e} \theta_{1e} - D_2 \dot{\theta}_{2e}^2 - K_2 \dot{\theta}_{2e} \theta_{2e} + K_1 \theta_{1e} \dot{\theta}_{1e} + K_2 \theta_{2e} \dot{\theta}_{2e} \\
&= \dot{\theta}_0 T_0 - D_1 \dot{\theta}_{1e}^2 - D_2 \dot{\theta}_{2e}^2
\end{aligned}$$

som viser at systemet med inngang T_0 og utgang $\dot{\theta}_0 = \omega_0$ er passivt. Dette impliserer at $H_0(s) = \frac{\omega_0}{T_0}(s)$ er positiv reell, som igjen medfører at $|\angle H_0(j\omega)| \leq 90^\circ$. Passivitet betyr kort sagt at systemet bare kan lagre og dissipere energi (står mer forklart i boka). Dette kan i dette tilfellet sees direkte fra uttrykket for \dot{V} som er uttrykket for forandringen av den totale energien til systemet (dette siden vi for dette systemet valgte energifunksjonen som lagringsfunksjon). Det positive energibidraget til systemet er effekten $\dot{\theta}_0 T_0$ levert av motoren og de negative bidragene $D_1 \dot{\theta}_{1e}^2 + D_2 \dot{\theta}_{2e}^2$ er energi dissipert i demperne.

Oppgave 2) (xx %)

a)

$$\mathbf{R}_d^a = \mathbf{R}_z(\psi) \mathbf{R}_y(\theta) \mathbf{R}_x(\phi) \quad (15)$$

$$\begin{aligned} &= \begin{pmatrix} \cos \frac{\pi}{6} & -\sin \frac{\pi}{6} & 0 \\ \sin \frac{\pi}{6} & \cos \frac{\pi}{6} & 0 \\ 0 & 0 & 1 \end{pmatrix} \begin{pmatrix} \cos \frac{\pi}{4} & 0 & \sin \frac{\pi}{4} \\ 0 & 1 & 0 \\ -\sin \frac{\pi}{4} & 0 & \cos \frac{\pi}{4} \end{pmatrix} \begin{pmatrix} 1 & 0 & 0 \\ 0 & \cos \frac{\pi}{3} & -\sin \frac{\pi}{3} \\ 0 & \sin \frac{\pi}{3} & \cos \frac{\pi}{3} \end{pmatrix} \\ &= \begin{pmatrix} \frac{1}{4}\sqrt{2}\sqrt{3} & \frac{3}{8}\sqrt{2} - \frac{1}{4} & \frac{1}{4}\sqrt{3} + \frac{1}{8}\sqrt{2}\sqrt{3} \\ \frac{1}{4}\sqrt{2} & \frac{1}{4}\sqrt{3} + \frac{1}{8}\sqrt{2}\sqrt{3} & \frac{1}{8}\sqrt{2} - \frac{3}{4} \\ -\frac{1}{2}\sqrt{2} & \frac{1}{4}\sqrt{2}\sqrt{3} & \frac{1}{4}\sqrt{2} \end{pmatrix} \\ &= \begin{pmatrix} 0.612\,37 & 0.280\,33 & 0.739\,20 \\ 0.353\,55 & 0.739\,20 & -0.573\,22 \\ -0.707\,11 & 0.612\,37 & 0.353\,55 \end{pmatrix} \quad (16) \end{aligned}$$

b) Når vi skal finne vinkel-akse representasjonen går vi Euler-rotasjonsvektoren

e. Vi har at

$$\mathbf{e} = \mathbf{k} \sin \theta \quad (17)$$

hvor

$$\mathbf{e} = \frac{1}{2} \begin{pmatrix} r_{32} - r_{23} \\ r_{13} - r_{31} \\ r_{21} - r_{12} \end{pmatrix} \quad (18)$$

Setter inn i (18) fra \mathbf{R}_d^a og får dermed

$$\mathbf{e} = \frac{1}{2} \begin{pmatrix} 0.612\,37 - (-0.573\,22) \\ 0.739\,20 - (-0.707\,11) \\ 0.353\,55 - 0.280\,33 \end{pmatrix} = \begin{pmatrix} 0.592\,80 \\ 0.723\,16 \\ 0.036\,61 \end{pmatrix} = \mathbf{k} \sin \theta \quad (19)$$

Siden \mathbf{k} er en enhetsvektor må $|\mathbf{k}| = \sqrt{k_1^2 + k_2^2 + k_3^2} = 1$. Dermed må

$$\frac{1}{\sin \theta} \sqrt{0.592\,80^2 + 0.723\,16^2 + 0.036\,61^2} = 1 \quad (20)$$

$$\sin \theta = 0.935\,80 \quad (21)$$

som da gir

$$\theta = 1.210\,5 \quad (22)$$

Dermed blir

$$\mathbf{k} = \frac{1}{\sin \theta} \begin{pmatrix} 0.592\,80 \\ 0.723\,16 \\ 0.036\,61 \end{pmatrix} = \begin{pmatrix} 0.633\,47 \\ 0.772\,77 \\ 0.03912 \end{pmatrix} \quad (23)$$

c) Vinkelhastighetsvektoren $\boldsymbol{\omega}_{ad}^a$ for $\psi = \frac{\pi}{6}, \theta = \frac{\pi}{4}, \phi = \frac{\pi}{3}$ og $\dot{\psi} = 1, \dot{\theta} = 2, \dot{\phi} = -1$ er gitt av

$$\boldsymbol{\omega}_{ad}^a = \begin{pmatrix} 0 \\ 0 \\ \dot{\psi} \end{pmatrix} + \mathbf{R}_z(\psi) \begin{pmatrix} 0 \\ \dot{\theta} \\ 0 \end{pmatrix} + \mathbf{R}_z(\psi) \mathbf{R}_y(\theta) \begin{pmatrix} \dot{\phi} \\ 0 \\ 0 \end{pmatrix} \quad (24)$$

$$\begin{aligned} &= \begin{pmatrix} -\sin \psi \dot{\theta} + \cos \psi \cos \theta \dot{\phi} \\ \cos \psi \dot{\theta} + \sin \psi \cos \theta \dot{\phi} \\ \dot{\psi} - \sin \theta \dot{\phi} \end{pmatrix} \\ &= \begin{pmatrix} -2 \sin \frac{\pi}{6} - \cos \frac{\pi}{6} \cos \frac{\pi}{4} \\ 2 \cos \frac{\pi}{6} - \sin \frac{\pi}{6} \cos \frac{\pi}{4} \\ 1 + \sin \frac{\pi}{4} \end{pmatrix} \\ &= \begin{pmatrix} -\frac{1}{4}\sqrt{2}\sqrt{3} - 1 \\ -\frac{1}{4}\sqrt{2} + \sqrt{3} \\ \frac{1}{2}\sqrt{2} + 1 \end{pmatrix} = \begin{pmatrix} -1.6124 \\ 1.3785 \\ 1.7071 \end{pmatrix} \end{aligned} \quad (25)$$

d) Har at posisjonen til punkt p i a -koordinater er gitt av

$$\mathbf{r}_p^i = \mathbf{r}_o^i + \mathbf{R}_b^i \mathbf{r}_{op}^b \quad (26)$$

der \mathbf{r}_o^i er vektoren fra origo i i -systemet til origo i b -systemet. Deriverer og får hastighetsvektoren

$$\begin{aligned} \mathbf{v}_p^i &= \mathbf{v}_o^i + \dot{\mathbf{R}}_b^i \mathbf{r}_{op}^b + \mathbf{R}_b^i \dot{\mathbf{r}}_{op}^b \\ &= \mathbf{v}_o^i + \mathbf{R}_b^i (\boldsymbol{\omega}_{ib}^b)^\times \mathbf{r}_{op}^b + \mathbf{R}_b^i \dot{\mathbf{r}}_{op}^b \end{aligned} \quad (27)$$

Deriverer igjen og får akselerasjonsvektoren

$$\begin{aligned} \mathbf{a}_p^i &= \mathbf{a}_o^i + \dot{\mathbf{R}}_b^i (\boldsymbol{\omega}_{ib}^b)^\times \mathbf{r}_{op}^b + \mathbf{R}_b^i (\dot{\boldsymbol{\omega}}_{ib}^b)^\times \mathbf{r}_{op}^b + \mathbf{R}_b^i (\boldsymbol{\omega}_{ib}^b)^\times \dot{\mathbf{r}}_{op}^b + \dot{\mathbf{R}}_b^i \dot{\mathbf{r}}_{op}^b + \mathbf{R}_b^i \ddot{\mathbf{r}}_{op}^b \\ &= \mathbf{a}_o^i + \mathbf{R}_b^i (\boldsymbol{\omega}_{ib}^b)^\times (\boldsymbol{\omega}_{ib}^b)^\times \mathbf{r}_{op}^b + \mathbf{R}_b^i (\boldsymbol{\alpha}_{ib}^b)^\times \mathbf{r}_{op}^b + \mathbf{R}_b^i (\boldsymbol{\omega}_{ib}^b)^\times \dot{\mathbf{r}}_{op}^b + \mathbf{R}_b^i (\boldsymbol{\omega}_{ib}^b)^\times \dot{\mathbf{r}}_{op}^b + \mathbf{R}_b^i \ddot{\mathbf{r}}_{op}^b \\ &= \mathbf{a}_o^i + \mathbf{R}_b^i \ddot{\mathbf{r}}_{op}^b + 2\mathbf{R}_b^i (\boldsymbol{\omega}_{ib}^b)^\times \dot{\mathbf{r}}_{op}^b + \mathbf{R}_b^i (\boldsymbol{\alpha}_{ib}^b)^\times \mathbf{r}_{op}^b + \mathbf{R}_b^i (\boldsymbol{\omega}_{ib}^b)^\times (\boldsymbol{\omega}_{ib}^b)^\times \mathbf{r}_{op}^b \\ &= \mathbf{R}_b^i \left(\mathbf{a}_o^b + \ddot{\mathbf{r}}_{op}^b + 2(\boldsymbol{\omega}_{ib}^b)^\times \dot{\mathbf{r}}_{op}^b + (\boldsymbol{\alpha}_{ib}^b)^\times \mathbf{r}_{op}^b + (\boldsymbol{\omega}_{ib}^b)^\times (\boldsymbol{\omega}_{ib}^b)^\times \mathbf{r}_{op}^b \right) \end{aligned} \quad (28)$$

som er svaret vi søker.

d) Tar utgangspunkt i ligninga gitt i oppgaven

$$\vec{a}_p = \vec{a}_0 + \frac{{}^b d^2}{dt^2} \vec{r} + 2\vec{\omega}_{ib} \times \frac{{}^b d}{dt} \vec{r} + \vec{\alpha}_{ib} \times \vec{r} + \vec{\omega}_{ib} \times (\vec{\omega}_{ib} \times \vec{r}) \quad (29)$$

Det første leddet \vec{a}_0 angir lineærakselerasjonen til origo av b -systemet, mens det andre leddet $\frac{{}^b d^2}{dt^2} \vec{r}$ angir lineærakselerasjonen (gitt i b -systemet) til punktet

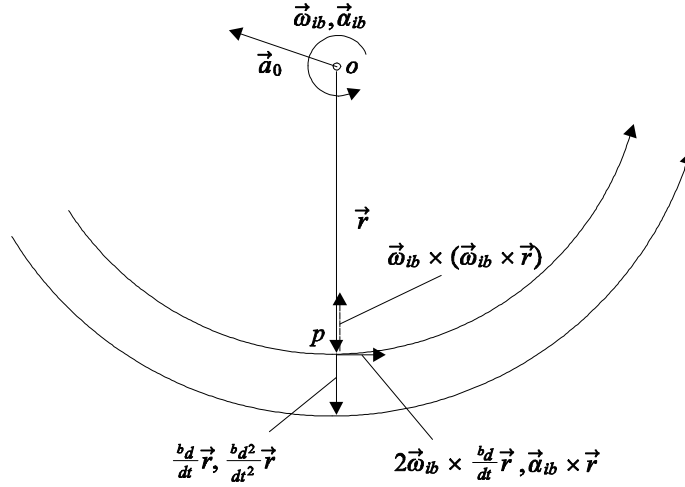


Figure 1: Totalakselerasjonen for et (mulig) ikke-fast punkt p i et system b som roterer i forhold til det inertielle systemet i . Også kjent som "sykkeleike-eksempelet".

p i forhold til origo i b -systemet. Det tredje leddet $2\vec{\omega}_{ib} \times \frac{b}{dt}\vec{r}$ angir Coriolis-akselerasjonen, som kommer av at hvis man beveger seg lineært i radiell retning (sett i b) i et roterende system b vil hastigheten i den nye "banen" bli større/mindre, siden man skifter "bane" i det roterende systemet b , sett fra i . Det fjerde leddet $\vec{\alpha}_{ib} \times \vec{r}$ er vinkelakselerasjonen for rotasjonen mellom i - og b -systemet, mens det siste leddet $\vec{\omega}_{ib} \times (\vec{\omega}_{ib} \times \vec{r})$ er sentripetalakselerasjonen som kommer av at punktet p går i en sirkulær bane (sett i i -systemet) rundt origo i b -systemet selv om det står i ro i b -systemet. Newton's lov angir da at siden den da i i -systemet ikke går i en rett linje eller står i ro så er den påvirket av en akselerasjon. Retningene på disse akselerasjonsleddene er angitt på Figur (1) (finnes gjennom høyrehåndsregel for kryssprodukt og ved å anta at all bevegelse for p , dvs endring i \vec{r} skjer radielt ut fra origo i b -systemet i forhold til rotasjonen). For enkelhets skyld lar vi $\vec{\omega}_{ib}$ og $\vec{\alpha}_{ib}$ peke ut av papirplanet, mens alle andre vektorer ligger i papirplanet.

Oppgave 3) (xx %)

a) Vi velger de generaliserte koordinatene

$$\mathbf{q} = \begin{pmatrix} \theta \\ y \end{pmatrix} \quad (30)$$

Systemets kinetiske energi er gitt av klossens hastighet i radiell og transversal retning som

$$T = \frac{1}{2}m\dot{y}^2 + \frac{1}{2}m\left(y\dot{\theta}\right)^2 \quad (31)$$

Systemets potensielle energi kan skrives

$$U = -mgy \cos \theta + \frac{1}{2}k(y - y_0)^2 \quad (32)$$

Dette gir Lagrange-funksjonen

$$L = T - U = \frac{1}{2}m\dot{y}^2 + \frac{1}{2}m\left(y\dot{\theta}\right)^2 + mgy \cos \theta - \frac{1}{2}k(y - y_0)^2 \quad (33)$$

For $q_1 = \theta$ har vi

$$\frac{\partial L}{\partial \theta} = -mgy \sin \theta \quad (34)$$

$$\frac{\partial L}{\partial \dot{\theta}} = my^2\dot{\theta} \quad (35)$$

og for $q_2 = y$

$$\frac{\partial L}{\partial y} = m\dot{\theta}^2 y + mg \cos \theta - k(y - y_0) \quad (36)$$

$$\frac{\partial L}{\partial \dot{y}} = m\dot{y} \quad (37)$$

Lagrange-ligninga er

$$\frac{d}{dt} \left(\frac{\partial L}{\partial \dot{q}_i} \right) - \frac{\partial L}{\partial q_i} = \tau_i \quad (38)$$

hvor den eneste eksterne kraften er dempekraften for $q_2 = y$, altså $\tau_2 = -d\dot{y}$.
Setter inn og får modellen

$$my^2\ddot{\theta} + 2my\dot{\theta}\dot{y} + mgy \sin \theta = 0 \quad (39)$$

$$m\ddot{y} - m\dot{\theta}^2 y + d\dot{y} - mg \cos \theta + k(y - y_0) = 0 \quad (40)$$

Oppgave 4) (20 %)

a) Skal sette opp differensialligningene for trykket og temperaturen i de to tankene. Dette gjøres ved å sette opp massebalansene og energibalansene for de to tankene samt å bruke egenskaper for isentropisk strømming for en ideell gass. Antar at det er ingen varmeledning mellom tankene og omgivelsene. Definerer positiv massestrøm w til å gå fra tank 2 til tank 1, altså til høyre i figuren. Massebalansen for tank 1 er da

$$\frac{d}{dt}(\rho_1 V_1) = V_1 \dot{\rho}_1 + A_1 \rho_1 \dot{x} = w \quad (41)$$

og for tank 2

$$\frac{d}{dt}(\rho_2 V_2) = V_2 \dot{\rho}_2 = -w \quad (42)$$

Energibalansen for tank 1 er

$$\frac{d}{dt}(\rho_1 V_1 u_1) = V_1 u_1 \dot{\rho}_1 + A_1 \rho_1 u_1 \dot{x} + \rho_1 V_1 \dot{u}_1 = w h_v - p_1 A_1 \dot{x} \quad (43)$$

hvor $h_v = u + \frac{p}{\rho}$ er entalpien for massestrømmen gjennom ventilen. Energibalansen for tank 2 er

$$\frac{d}{dt}(\rho_2 V_2 u_2) = V_2 u_2 \dot{\rho}_2 + V_2 \rho_2 \dot{u}_2 = -w h_v \quad (44)$$

Setter massebalansen inn i energibalansen og får

$$\rho_1 V_1 \dot{u}_1 = w(h_v - u_1) - p_1 A_1 \dot{x} \quad (45)$$

$$\rho_2 V_2 \dot{u}_2 = -w(h_v - u_2) \quad (46)$$

Vi har videre at

$$u_1 = c_v T_1 \quad (47)$$

$$u_2 = c_v T_2 \quad (48)$$

$$h_v = c_p T_v \quad (49)$$

og i tillegg at temperaturen for gassen som strømmer gjennom ventilen med massestrøm w er gitt av

$$T_v = \begin{cases} T_1, & p_1 > p_2 \\ T_2, & p_2 > p_1 \end{cases} \quad (50)$$

Disse settes inn i (45)-(46) og vi får et uttrykk for temperaturendringene

$$\rho_1 V_1 c_v \dot{T}_1 = w(h_v - u_1) - p_1 A_1 \dot{x} \quad (51)$$

$$\rho_2 V_2 c_v \dot{T}_2 = -w(h_v - u_2) \quad (52)$$

Isentropiske forhold gir $dp = \kappa RT d\rho$. Dette settes inn i massebalansene og vi får

$$V_1 \dot{p}_1 = \kappa RT_1 w - \kappa RT_1 A_1 \rho_1 \dot{x} \quad (53)$$

$$V_2 \dot{p}_2 = -\kappa RT_2 w \quad (54)$$

Den ideelle gassloven gir

$$pV = mRT \implies \frac{RT}{V} = \frac{p}{m}, \quad p = \rho RT \quad (55)$$

Dermed blir den ferdige modellen for trykket

$$\dot{p}_1 = \kappa p_1 \frac{w}{m_1} - \kappa p_1 \frac{\dot{x}}{x} \quad (56)$$

$$\dot{p}_2 = -\kappa p_2 \frac{w}{m_2} \quad (57)$$

For en ideell gass har vi at $\kappa = \frac{c_p}{c_v}$, $\frac{R}{c_v} = \kappa - 1$ og $\frac{R}{c_p} = \frac{\kappa - 1}{\kappa}$. Bruker (55) i (51)-(52) og får for $p_1 > p_2$

$$\begin{aligned} \dot{T}_1 &= \frac{1}{\rho_1 V_1 c_v} \left(w \frac{p_1}{\rho_1} - p_1 A_1 \dot{x} \right) \\ &= \frac{1}{m_1 c_v} (w R T_1 - p_1 A_1 \dot{x}) \\ &= \frac{(\kappa - 1) w T_1}{m_1} - \frac{p_1 A_1 \dot{x}}{m_1 c_v} \end{aligned} \quad (58)$$

$$\begin{aligned} \dot{T}_2 &= -\frac{w}{\rho_2 V_2 c_v} (c_p T_1 - u_2) \\ &= -\frac{w}{\rho_2 V_2 c_v} (c_p T_1 - c_v T_2) \\ &= -\frac{w}{m_2} (\kappa T_1 - T_2) \end{aligned} \quad (59)$$

For $p_2 > p_1$ får vi

$$\begin{aligned} \dot{T}_1 &= \frac{1}{\rho_1 V_1 c_v} (w (c_p T_2 - u_1) - p_1 A_1 \dot{x}) \\ &= \frac{1}{m_1 c_v} (w (c_p T_2 - c_v T_1) - p_1 A_1 \dot{x}) \\ &= \frac{w}{m_1} (\kappa T_2 - T_1) - \frac{p_1 A_1 \dot{x}}{m_1 c_v} \end{aligned} \quad (60)$$

$$\begin{aligned} \dot{T}_2 &= -\frac{w}{\rho_2 V_2 c_v} \frac{p_2}{\rho_2} \\ &= -\frac{w}{m_2 c_v} R T_2 \\ &= -\frac{(\kappa - 1) w}{m_2} T_2 \end{aligned} \quad (61)$$

Samlet blir dermed modellen

$$\dot{p}_1 = \kappa p_1 \frac{w}{m_1} - \kappa p_1 \frac{\dot{x}}{x} \quad (62)$$

$$\dot{p}_2 = -\kappa p_2 \frac{w}{m_2} \quad (63)$$

$$\dot{T}_1 = \begin{cases} \frac{(\kappa-1)wT_1}{m_1} - \frac{p_1 A_1 \dot{x}}{m_1 c_v}, & p_1 > p_2 \\ \frac{w}{m_1} (\kappa T_2 - T_1) - \frac{p_1 A_1 \dot{x}}{m_1 c_v}, & p_2 > p_1 \end{cases} \quad (64)$$

$$\dot{T}_2 = \begin{cases} -\frac{w}{m_2} (\kappa T_1 - T_2), & p_1 > p_2 \\ -\frac{(\kappa-1)w}{m_2} T_2, & p_2 > p_1 \end{cases} \quad (65)$$

Massestrømmen w er gitt av (tatt fra boka)

$$w = \begin{cases} \frac{A_v p_1}{\sqrt{\kappa R T_1}} \kappa \left(\frac{p_2}{p_1} \right)^{\frac{1}{\kappa}} \left(\frac{2}{\kappa-1} \sqrt{1 - \left(\frac{p_2}{p_1} \right)^{\frac{\kappa-1}{\kappa}}} \right), & p_1 > p_2 \\ \frac{A_v p_2}{\sqrt{\kappa R T_2}} \kappa \left(\frac{p_1}{p_2} \right)^{\frac{1}{\kappa}} \left(\frac{2}{\kappa-1} \sqrt{1 - \left(\frac{p_1}{p_2} \right)^{\frac{\kappa-1}{\kappa}}} \right), & p_1 < p_2 \end{cases} \quad (66)$$

b) Uttrykket for stempelet blir da en enkel kraftbalanse (Newton)

$$m\ddot{x} = A_1 p_1 - A_1 p_0 = A_1 p_1 \quad (67)$$

Oppgave 5) (20 %)

a) Stabilitetsfunksjonen er

$$R = 1 - h \quad (68)$$

og stabilitet oppnås for $|R| = |1 - h| \leq 1$. Dette er oppfylt for

$$h \leq 1 \quad (69)$$

b) (Sjekk mhp stabilitetsgrensa. Stabil for 1), marginal stabil for 2) og ustabil for 3). Vurder også om studenten har forstått hvordan metoden er "grafisk".)

c) Stabilitetsfunksjonen er

$$R = \frac{1 - \frac{h}{2}}{1 + \frac{h}{2}} \quad (70)$$

og vi finner at

$$|R|^2 = \frac{\left(1 - \frac{h}{2}\right)^2}{\left(1 + \frac{h}{2}\right)^2} = \frac{1 - h + \frac{h^2}{4}}{1 + h + \frac{h^2}{4}} = \frac{1 + h + \frac{h^2}{4}}{1 + h + \frac{h^2}{4}} - \frac{2h}{1 + h + \frac{h^2}{4}} \quad (71)$$

$$= 1 - \frac{2h}{1 + h + \frac{h^2}{4}} \quad (72)$$

$$< 1 \quad (73)$$

Metoden er derfor stabil for alle h .

d) Metoden er her stabil for alle h . (Samme vurdering som for oppgave b).)

e) Har to metoder som beregner y_{n+1} av orden p og \hat{y}_{n+1} av orden $p + 1$. En pseudo-kode for metoden er:

Initialiseringer.

Hovedløkke

1. Beregn $k_i, i = 1, \dots, \sigma$
2. Beregn \hat{y}_{n+1}, y_{n+1}
3. Beregn lokalavbruddsfeilen $e_{n+1} = \hat{y}_{n+1} - y_{n+1}$
4. Hvis $|e_{n+1}| > eps$ (feilskranke) \rightarrow ikke bruk den beregnede h -verdien, beregn ny $h_{ny} = 0.8h \left(\frac{eps}{|e_{n+1}|}\right)^{\frac{1}{p+1}}$ og gå til (1).
5. Hvis $|e_{n+1}| \leq eps \rightarrow$ bruk den beregnede h -verdien og sett den nye h (for neste tidsskritt) til $h_{ny} = 0.8h \left(\frac{eps}{|e_{n+1}|}\right)^{\frac{1}{p+1}}$
6. $n = n + 1$ % gå et tidsskritt videre ($t = t + h$) og gå til (1)